توصيف شكلي وجزيئي لعزلات من الفطر Rhizoctonia solani المسبب لمرض القشرة السوداء على البطاطا في بعض مناطق زراعتها في سورية

سالي أبو عقل $^{(1)}$ ووليد نفاع $^{(2)}$ ومحمد جمال مندو $^{(1)}$

- (1). إدارة بحوث وقاية النبات في الهيئة العامة للبحوث العلمية الزراعية، دمشق، سورية
 - (2). جامعة دمشق، كلية الهندسة الزراعية، قسم وقاية النبات، دمشق، سورية

(*للمراسلة الدكتور وليد نفاع، البريد الالكتروني: walid1851966@yahoo.com

تاريخ الاستلام: 2021/04/14 تاريخ القبول: 2021/05/10

الملخص

تعد البطاطا .Solanum tuberosum L أحد أهم المحاصيل الغذائية والصناعية في جميع أنحاء العالم. ويعد مرض القشرة السوداء المتسبب عن الفطر Rhizoctonia solani . [Thanatephorus cucumeris (A.B. Frank) Donk [طوره الجنسى: Kühn] من أهم الأمراض التي تصيب البطاطا في معظم بلدان العالم ومنها سورية. تم الحصول على 19 عزلة للفطر R. solani من الأجسام الحجربة المتشكلة على درنات بطاطا مصابة، جُمعت من حقول في محافظتي حمص وحلب خلال العروة الربيعية (شباط، وآذار، ونيسان)، وفي محافظتي ريف دمشق (سعسع) ودرعا خلال العروة الصيفية (آب، وأيلول) في عامي 2018- 2019. بينت النتائج تباين العزلات في صفاتها الشكلية (لون المستعمرات ومظهرها)، وقدرتها على تشكيل أجسام حجربة، ولون الأجسام الحجربة ومكان توضعها في الطبق. وأظهرت الدراسة الجزيئية باستخدام زوج البادئات (/ AG3-1F ITS4-B) للكشف عن الفطر R. solani (المجموعة التشابكية AG3)، وزوج البادئات (Rs2R1/ Rs1F2) للكشف عن تحت المجموعة التشابكية AG-3PT المتخصصة بإصابة البطاطا أن 78.95% من العزلات تنتمي لتحت المجموعة التشابكية AG3-PT، باستثناء أربع عزلات فقط هي Rh4 و Rh12 و Rh14 وRh19 (21.05 %)، والتي قد تتبع لمجموعة / مجموعات تشابكية أخرى قادرة على إصابة البطاطا. تعد هذه الدراسة الأولى في سورية للكشف الجزيئي عن المجموعات التشابكية للفطر R. solani.

الكلمات المفتاحية: رايزوكتونيا، مجموعات تشابكية، القشرة السوداء، بطاطا، تعريف جزيئي.

المقدمـــة:

تعد البطاطا .. Solanum tuberosum L. من المحاصيل الغذائية والصناعية الأساسية الهامة في الوطن العربي، وفي عدد كبير من دول العالم، وتصنف كثالث أهم محصول غذائي بعد القمح والأرز (FAO, 2016). ازداد إنتاج محصول البطاطا بشكل كبير تلبيةً لتزايد متطلبات النمو السكاني (Birch et al., 2012)، حيث بلغت المساحة المزروعة في

العالم أكثر من 19 مليون هكتار بإنتاج نحو 368 مليون طن (FAO, 2018). قُدَّر إنتاج البطاطا في سورية لعام 2019 بحوالي 635519 طناً بمساحة مزروعة 24795 هكتاراً (المجموعة الإحصائية الزراعية السنوية، 2019).

يسبب الفطر . Rhizoctonia solani Kühn (وطوره الجنسي Rhizoctonia solani Kühn) خسائر كبيرة في كمية الانتاج ونوعيته على مستوى العالم (Das et al., 2014)، إذ إن أعراض القشرة السوداء التي تظهر على الدرنات تسبب خسائر اقتصادية كبيرة في أسواق الاستهلاك، وفي برامج إصدار شهادات البذار والتصدير (,2016 المسبة (2006). وأثبتت الدراسات انتشار المرض في معظم مناطق زراعة البطاطا في سورية، حيث بلغ المتوسط العام لنسبة الإصابة بالمرض خلال العروة الخريفية 60.46 %، أما في العروة الربيعية فكانت نسبة الإصابة أعلى من الخريفية بمتوسط نسبة إصابة إصابة (عبدو وآخرون، 2012). تظهر أعراض المرض في البطاطا على أجزاء النبات فوق وتحت سطح الأرض، حيث يشكل الفطر على سطح الدرنة كتلاً مسطحة بنية داكنة مائلة للسواد وقاسية تدعى الأجسام الحجرية، كما يلاحظ تقرحات بنية على السوق الأرضية (Van den Brink and Wustman, 2014).

تتباين عزلات الفطر R. solani في خصائها الشكلية والوراثية، وقد قسمت إلى مجموعات تشابكية R. solani تتباين عزلات الفطر R. solani في خصائها الشكلية والوراثية، وقد قسمت إلى مجموعات تشابكية (AG) عتماداً على التحام خيوطها الفطرية (الهيفات) مع بعضها (Carling et al., 2002a)، والتي (Carling and Kuninaga, 1990;)، والتي قسم العديد منها إلى مجموعات فرعية على أساس الإمراضية أو التباين الوراثي (Carling et al. 2002a; Lees et al., 2002; Guleria et al., 2007; Woodhall et al., 2007).

وقد أظهرت الدراسات أن المجموعات التشابكية AG لديها أنواع مضيفة مفضلة، وترتبط بأعراض مرض معينة، إذ ترتبط المجموعة AG-3 في الغالب بمحاصيل الفصيلة الباذنجانية Solanaceae، والتي قسمت إلى تحت مجموعة البطاطا AG3-PT، والتبدورة AG3-PT، والبندورة AG3-PT، والبندورة المجموعة AG3-PT، وتعد تحت المجموعة AG3-PT، والمحبوعة المرتبطة بأمراض البطاطا هي الأكثر انتشاراً على المستوى العالمي، ويمكنها إصابة جميع أجزاء النبات في أي مرحلة من AG-2.1، AG-2.1، ويمكن لبعض المجموعات التشابكية مثل AG-2.1، وAG-2.1، وAG-4، وAG-2.1، ويمكن لبعض المجموعات التشابكية العديدة إلا أنها لم تستطع وضع العزلات ضمن (Okubara et al., 2008). وعلى الرغم من الدراسات الشكلية العديدة إلا أنها لم تستطع وضع العزلات ضمن المجموعات بشكل دقيق، لذلك اعتمد مؤخراً على التقانات الحيوية، والتي تتميز بقدرتها على الفصل ما بين المجموعات وتحت المجموعات كونها تعتمد على توصيف مناطق معينة من جينوم الفطر، ولا تتأثر بالظروف البيئية. لذلك ازداد استخدام هذه الطرائق لتعريف ووضع العزلات بشكل دقيق ضمن المجموعات التشابكية للفط (ITS) المجموعات الجزيئية عادة على استخدام منطقة الفواصل المنسوخة الداخلية عاموء تحديد تتابع النيكليوتيدات في منطقة (ITS) الحمض النووي الريبوزومي (Kuninaga et al., 2000). وحموعات فرعية داخل بعض المجموعات التشابكية AG-2، وAG-1، وبالتالي يمكن تصنيف العزلات الجديدة في مجموعات فرعية داخل بعض المجموعات التشابكية المجموعات التسلسل منطقة (AG-1، وبالتالي يمكن تصنيف العزلات الجديدة في مجموعات فرعية تبعاً لتسلسل منطقة AG-1، والتالي يمكن تصنيف العزلات الجديدة في مجموعات فرعية لتباً التسلسل منطقة AG-1، والتالي يمكن تصنيف العزلات الجديدة في مجموعة عمينة تبعاً لتسلسل منطقة AG-1، وAG-2، وGonzalez et al., التشابك منطقة AG-1) التشابك منطقة AG-1، والتالي يمكن تصنيف العزلات الجديدة في مجموعات فرعية التسلسل منطقة AG-1، والتالي وحدودة مسبقاً داخل AG-1، والتالي يمكن تصنيف العزلات الجديدة في مجموعات فرعية معينا المحدودة مسبقاً داخل المحدودة مسبقاً المحدودة مسبقاً داخل المحدودة مسبقاً داخل المحدودة مسبقاً داخل ال

Lees وزملاؤه (2002). استخدم Lees وزملاؤه (2002) استخدم Lees الريبوزومي من أجل Lees الريبوزومي من أجل AG-3 الريبوزومي المتعلم (Qrt-PCR) Quantitative Real Time-PCR).

يسبب الفطر R. solani مشكلة حقيقية في سورية على الفصيلة الباذنجانية، ونظراً لأهمية نباتات هذه الفصيلة والمساحة الواسعة المزروعة بها، وقلة أو عدم وجود دراسات محلية حول الكشف عن المجموعات التشابكية لهذا الفطر بالطرائق الجزيئية، فقد هدف البحث إلى التوصيف الشكلي والجزيئي للفطر المسبب لمرض القشرة السوداء على البطاطا في بعض مناطق سورية.

المواد والطرائق:

1- جمع العينات: تم القيام بالعديد من الجولات في حقول مزروعة بمحصول البطاطا في محافظتي حمص وحلب خلال العروة الربيعية (شباط، وآذار، ونيسان)، وفي محافظتي ريف دمشق (سعسع) ودرعا خلال العروة الصيفية (آب، وأيلول) في عامي 2018- 2019. جُمعت درنات تظهر على سطحها أجسام حجرية للفطر R. solani، وذلك من نباتات تبدي أعراضاً مرضية واضحة، حيث تم أخذ العينات بشكل عشوائي، ودوّن على كل عينة اسم المنطقة وتاريخ الجمع.

2- عزل الفطر: غُسلت الدرنات المصابة عدة مرات بماء الصنبور، طُهّرت سطحياً بهيبوكلوريت الصوديوم 1% لمدة 5 دقائق، غُسلت مرتين بالماء المقطر والمعقم، جُففت وقُطعت الى قطع صغيرة بطول 3-5 مم تحتوي على أجسام حجرية، وزعت في أطباق بتري تحوي على الوسط المغذي بطاطا ديكستروز آغار PDA المضاف إليه المضاد الحيوي ستريبتومايسين (1-1 streptomycin sulfate المعناد الحيوي المعتومايسين (1-1 streptomycin sulfate المعناد المعتومايسين أسبوع. ثم تمت تتقية الفطر بطريقة أخد خزعة من حافة المستعمرة النامية من جسم حجري، ونقلها إلى طبق بتري جديد. تم تأكيد تعريف العزلات بالاعتماد على الصفات الشكلية، وخاصة التخصر أو التضيق في نقطة تفرع الخيط الفطري تم تأكيد تعريف العزلات بالاعتماد على الصفات الشكلية، وخاصة التخصر أو التضيق في نقطة تفرع الخيط الفطري (شكل المستعمرات، اللون، تشكل الأجسام الحجرية وطريقة توضعها). كما تم حساب متوسط سرعة النمو اليومية (سم / اليوم) عن طريق قياس الزيادة في قطر مستعمرات العزلات على الوسط المغذي PDA خلال الأربعة أيام الأولى بعد الزرع.

3- الدراسة الجزبئية

1.3- استخلاص DNA (DNA extraction)

غزل الحمض النووي الريبي منقوص الأكسجين DNA لكامل الجينوم من الميسيليوم لجميع العزلات المدروسة بطريقة PDA عُزل الحمض النووي الريبي منقوص الأكسجين DNA. جُمعت مشيجة الفطر النامية على الوسط المغذي PDA بمعت مشيجة الفطر النامية على الوسط المغذي Cetyl Trimethyl Ammonium Bromide (CTAB) لمستعمرات بعمر 7 أيام، طُحنت على شكل بودرة ناعمة باستخدام الآزوت السائل، أخذ حوالي 150 ملغ من بودرة مشيجة الفطر، وضعت في أنبوب إبندورف سعة 2 مل، أضيف β μ 850 من محلول الاستخلاص الدافئ NaCl, 0.1M Tris HCl (pH8), 20 mM EDTA (pH 8), 2% CTAB, 1% PVP polyvinyl pyrrolidon, الأنبوب وتم مزجها بلطف، حُضّنت العينة في حمام مائي درجة حرارته 65 من مزيج المدة 30 دقيقة، حُرّكت دورانياً بلطف كل 10 دقائق للمساعدة في تحرير الأحماض النووية، أضيف 1700 μ من مزيج

الكلوروفورم وكحول ايزوميل بنسبة (1:24) إلى الأنبوب ومزجت بلطف، ثقّل المزيج لمدة 10 دقائق عند 10000 دورة/دقيقة ودرجة حرارة 4°س، أخذ 500 µ من الطبقة العلوية (الرائق) ووضعت في أنبوب جديد، ثقّلت العينة مرة ثانية كما في الخطوة السابقة بعد إضافة 500 µ من مزيج الكلوروفورم وكحول ايزوميل بنسبة (1:24)، أخذ 500 µ من الرائق ووضعت في أنبوب جديد وتركت على الجليد مدة 30-20 دقيقة. تم ترسيب DNA بضعفي الحجم من الإيثانول النقي، وتُقل الأنبوب لمدة 10 دقائق عند 10000 دورة/دقيقة ودرجة حرارة 4 °س، استبعد السائل مع المحافظة على DNA، وجفف الأنبوب تحت ساحبة الهواء عند درجة حرارة الغرفة. عُسل DNA بإضافة 1 مل إيثانول %70، ثم ثقل لمدة 3 دقائق عند 10000 دورة/دقيقة ودرجة حرارة 4 °س. استبعد السائل، وجفف الأنبوب تحت ساحبة الهواء عند درجة حرارة الغرفة لفترة تكفي للتخلص بشكل كامل من الإيثانول، وتمت اذابة DNA في 100 µ من محلول TE (PH8.0).

قدر تركيز الحمض النووي DNA المستخلص من جميع العزلات باستخدام جهاز المطياف الضوئي OD قدر تركيز الحمض النووي Spectrophotometer وحُددت نقاوته بقياس الامتصاصية (OD) عند طولي موجة OD و OD نانومتر وحسبت النسبة ($OD_{280} OD_{260}$). إذ تعتبر نوعية OD جيدة إذا تراوحت هذه النسبة في العينات النقية ما بين OD DNA المستخلص وإكمال OD من محلول DNA المستخلص وإكمال الحجم إلى OD من المحلول OD حفظت العينات عند درجة حرارة OD س لحين الاستخدام.

: Polymerase Chain Reaction (PCR) التفاعل المتسلسل للبوليميراز -2.3

استخدم زوج البادئات (CAGGAGACTTGTACACGGTCCAG) الكشف عن الفطر (R. solani) للكشف عن الفطر (CAGGAGACTTGTA CACGGTCCAG) وRS2R1) (TTGGTTGTAGCTGGTCTATTT) Rs1F2 و(Gardes and Bruns, 1993) وAG3-PT المخصصة بإصابة البطاطا (Kuninaga, 1997).

أجري التفاعل ضمن أنبوب سعة 200 ميكروليتر بحجم تفاعل كلي 20 ميكرولتر (µl DNA واستخدم أنزيم (µl DNA واستخدم أنزيم 10 µl عن كل بادئة 10 µl عن كل بادئة 10 µl عن شركة التدوير الحراري في جهاز من نوع (0.75 U) Polymerase فقط في جهاز من نوع (Eppendorf Thermocycler, Germany) وفق برنامج تدوير حراري تضمن عملية فصل أولي عند درجة حرارة 95 وس لثلاث دقائق، تاتها 35 دورة تضمنت كل دورة منها: مرحلة فصل ثانوية Denaturation عند درجة حرارة 95 والمتداد عند درجة عرارة 55 والمتداد عند حرارة 10 ثانية، ومرحلة البادئة البادئة عبد انتهاء الدورات المحددة أُجريت عملية استطالة نهائية لدورة واحدة فقط عند حرارة 72 وس لمدة 5 دقائق.

بعد انتهاء تفاعل الـ PCR، أضيف لكل عينة 1 ميكروليتر من محلول التحميل x loading dye، ثم فصلت نواتج التفاعل على هلامة أغاروز تركيز 1.5% حُضرت باستخدام محلول X Tris-acetate buffer) TAE)، وأضيف لها

صيغة Gel Red بتركيز 1:10000. تمت عملية الترحيل باستخدام نفس المحلول السابق لمدة ساعة ونصف، عند جهد كهربائي 110 فولط. أُخذت صورة رقمية للهلامة باستخدام جهاز توثيق الهلام المزود بمصدر للأشعة فوق البنفسجية W فوربائي 1500 فولط. أُخذت صورة رقمية للهلامة باستخدام جهاز توثيق الهلام المزود بمصدر للأشعة فوق البنفسجية لتحليل النتائج، تمت مقارنة حجوم القطع الناتجة مع مؤشر قياس للوزن الجزيئي 1500 زوج نكليوتيدي (weight 1500 bp). تنتمي العزلة للمجموعة AG3 إذا ظهرت الحزمة المميزة (669 زوج نيكليوتيدي)، ولتحت المجموعة AG3-PT إذا ظهرت الحزمة المميزة بحدود 500 زوج نيكليوتيدي (Kuninaga, 1997).

4- التحليل الاحصائي:

حللت نتائج سرعة النمو باستخدام البرنامج Spss ver 17، وقورن بين المتوسطات باستخدام اختبار أقل فرق معنوي LSD عند مستوى 1%.

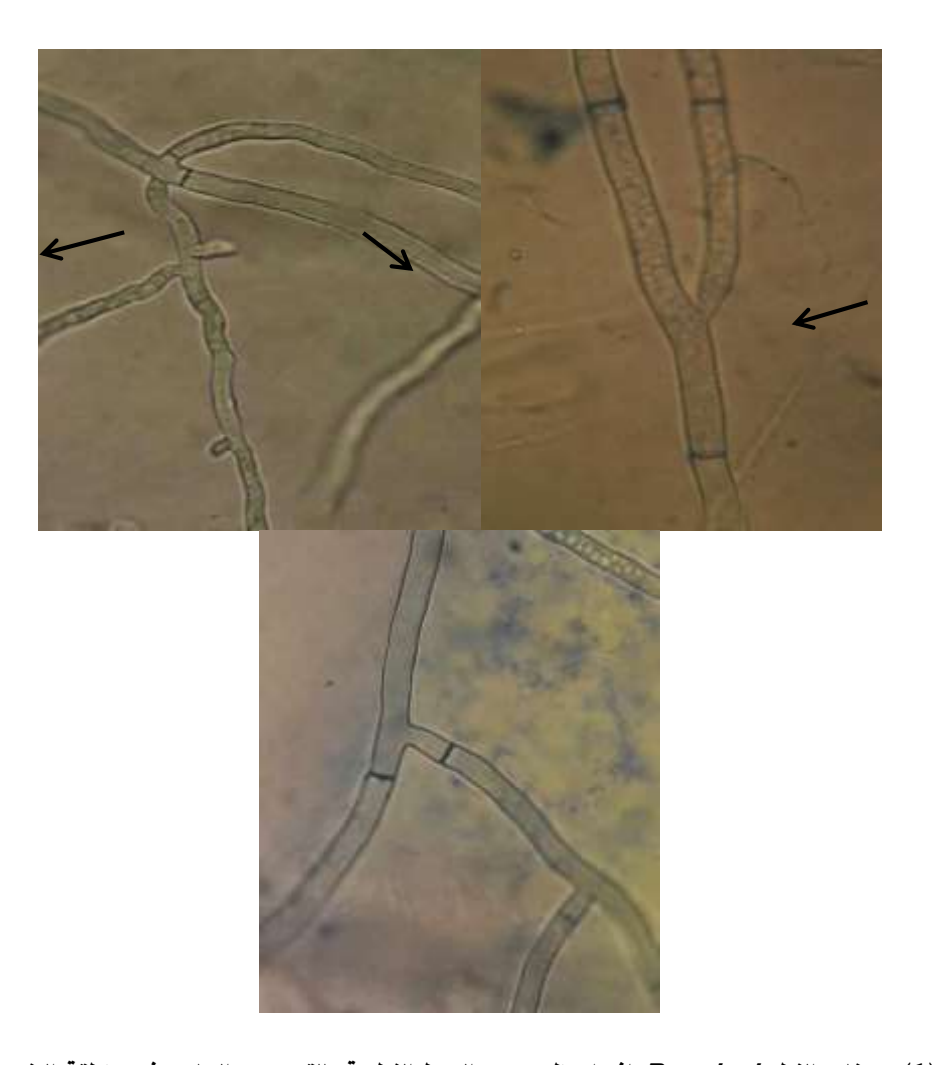
النتائج والمناقشة:

تم الحصول على 19 عزلة للفطر R. solani من الأجسام الحجرية المتشكلة على درنات مصابة، والتي جُمعت من حقول البطاطا للعروتين الربيعية والصيفية في محافظات (حمص، وحلب، وريف دمشق، ودرعا) خلال 2018–2019 (الجدول 1)، إذ عزلت خمس عشرة عزلة من حقول العروة الربيعية، وأربع عزلات من العروة الصيفية. من ناحية أخرى، تباين عدد العزلات التي حُصل عليها تبعا لمصدرها، إذ تم الحصول على 13 عزلة من حمص، و 6 عزلات فقط من باقى المحافظات، وذلك حسب إمكانية الحصول على العينات.

الجدول 1: مصدر عزلات الفطر Rhizoctonia solani المتحصل عليها والعروة التي جمعت منها

R. solani عزلات الفطر	مصادر العزلات Isolates sources		
	عدد العينات	العروة Season	Area المنطقة
Rh1, Rh2, Rh3, Rh4, Rh6, Rh7, Rh9, Rh11, Rh12, Rh13, Rh15, Rh17, Rh18	13	الربيعية/ شباط، آذار، نيسان	حمص
Rh5, Rh19	2	الربيعية/ شباط، آذار، نيسان	حلب
Rh10, Rh16	2	الصيفية/ آب، أيلول	سعسع
Rh8, Rh14	2	الصيفية/ آب، أيلول	درعا

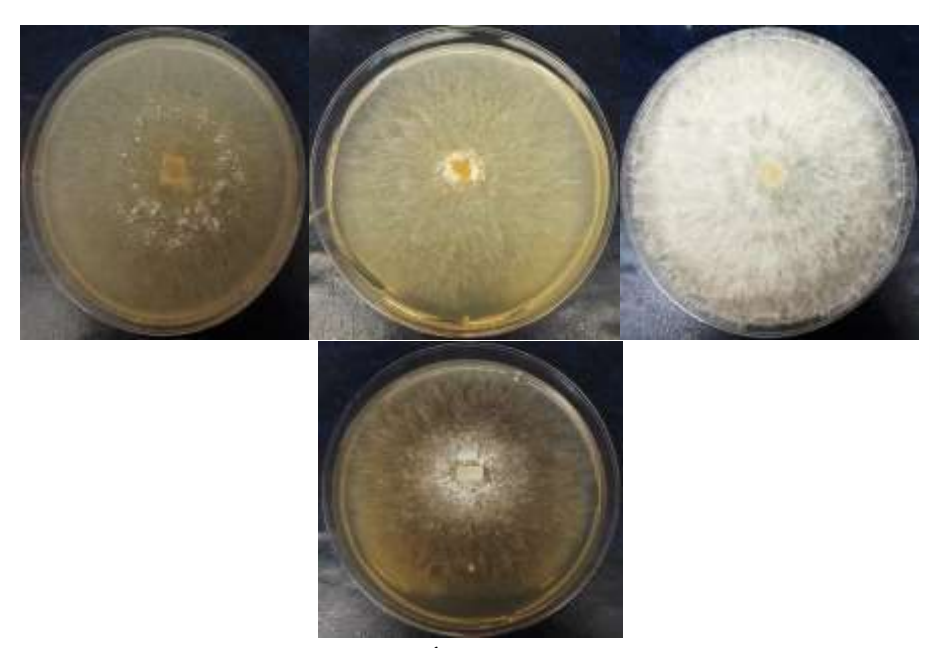
تم تأكيد تعريف العزلات المتحصل عليها من خلال الفحص المجهري، إذ ظهرت الخيوط الفطرية متفرعة بزوايا من 40 - 90 °، مقسمة إلى خلايا كبيرة الحجم نسبياً، مع وجود تخصر أو خاصرة في الخيط الفطري بالقرب من الحواجز عند منطقة التقرع (الشكل 1)، وهذه من أهم الصفات الشكلية المميزة للفطر Desvani et al., 2018) R. solani).



الشكل (1): هيفات الفطر R. solani إذ يلاحظ تخصر الخيط الفطرية بالقرب من الحاجز في منطقة التفرع (السهم)

الصفات الشكلية للعزلات المدروسة من الفطر R. solani

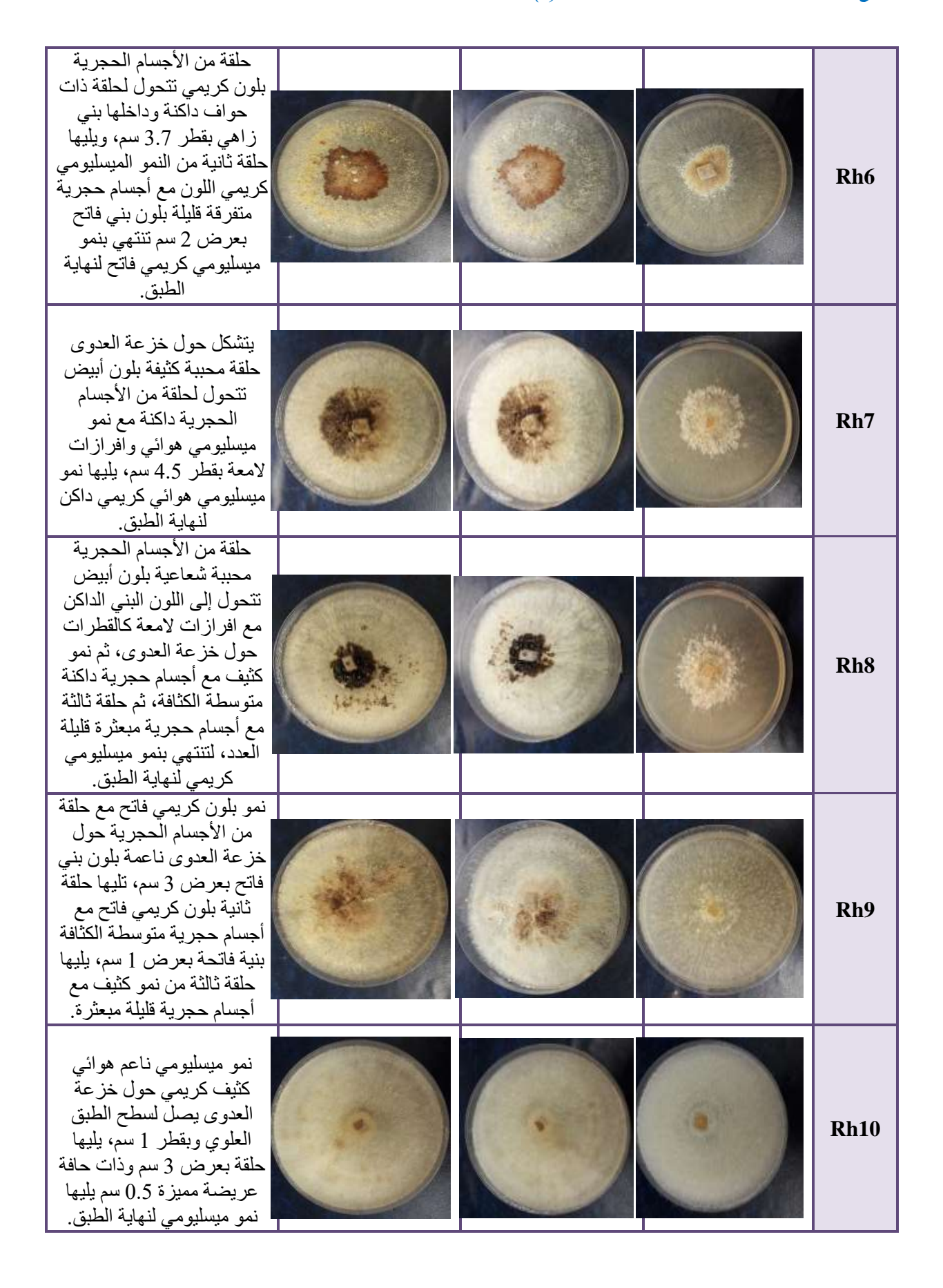
تباينت العزلات في صفاتها الشكلية (الجدول 2)، إذ كان لون معظم المستعمرات بنياً فاتحاً، بينما كان لون المستعمرات أبيض في العزلتين Rh1 وRh11 وRh11 وRh14، وبني داكن في العزلتين Rh1 وRh11 والشكل 2).

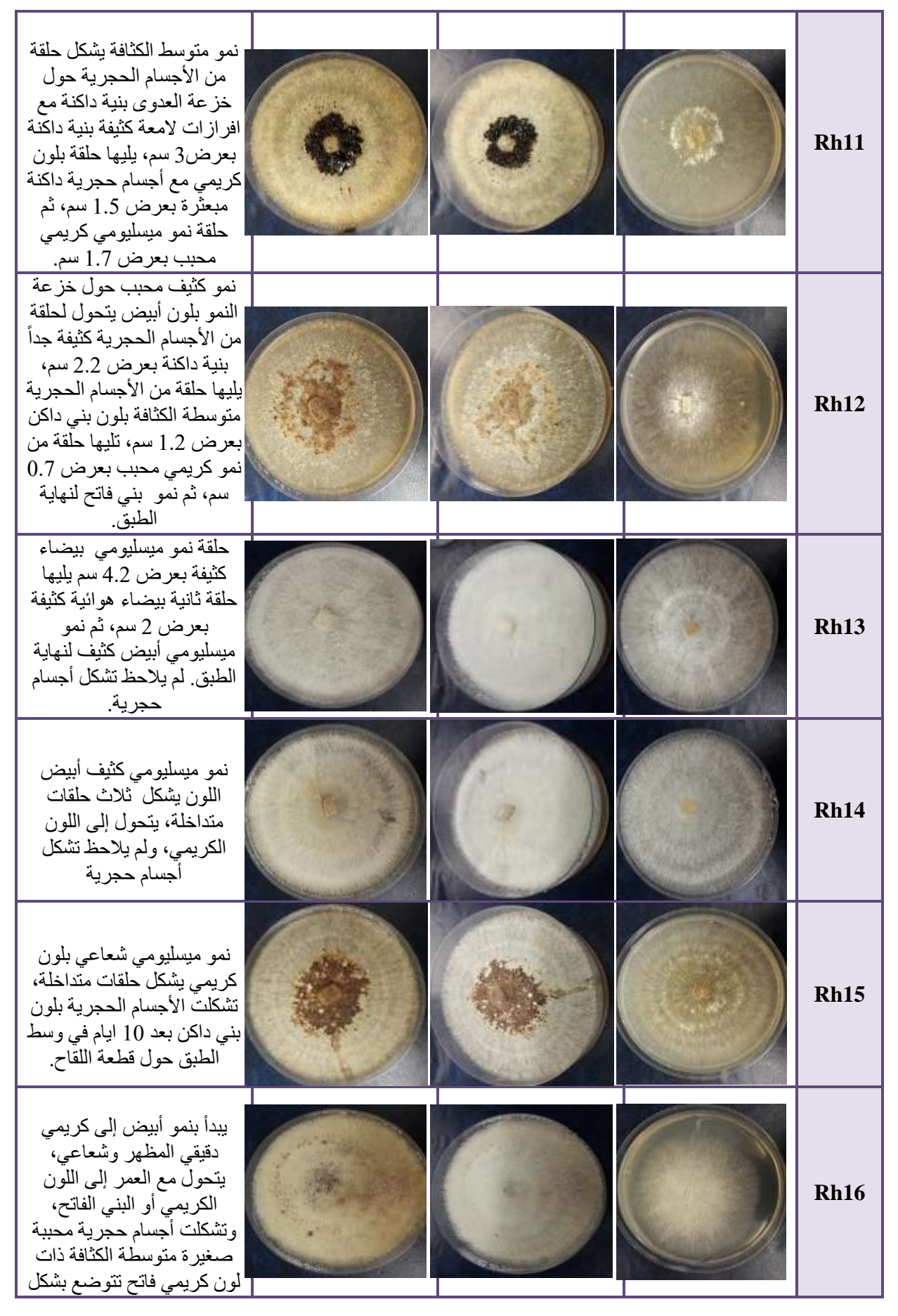


الشكل 2: تدرج لون مستعمرات الفطر R. solani من الأبيض إلى البنى الداكن على الوسط المغذي PDA

الجدول 2: الصفات الشكلية لعزلات النوع R. solani المتحصل عليها من أجسام حجرية متشكلة على درنات البطاطا

الوصف	المستعمرات			العزلات
	بعمر 15 يوم	بعمر 10 أيام	بعمر 5 أيام	
نمو كثيف محبب بلون أبيض كريمي يتحول لحلقة من الأجسام الحجرية بنبة داكنة كثيفة بقطر 4.5 سم، يليها نمو ميسليومي كثيف محبب كريمي لنهاية الطبق.				Rh1
نمو كثيف حول خزعة العدوى تتحول لحلقة من الأجسام الحجرية بنية اللون بقطر 3.6 سم، تليها حلقة بعرض 1.5 من الأجسام الحجرية، ثم نمو ميسليومي كثيف كريمي حتى نهاية الطبق مع افرازات لامعة ذات لون بني داكن.				Rh2
نمو شعاعي كثيف كريمي فاتح يتحول إلى حلقة من الأجسام الحجرية كثيفة مكتنزة بنية بعرض 2.6 سم، يليها حلقة ثانية بعرض 1.7 سم وبلون كريمي فاتح مع تكون أجسام حجرية بنية فاتحة مبعثرة قليلة العدد، تليها حلقة ثالثة فيها عدد قليل من الأجسام الحجرية المبعثرة بلون بني فاتح المبعثرة بلون بني فاتح				Rh3
نمو كثيف حول خزعة العدوى، يليه نمو ميسليومي كثيف هوائي محبب دائري بلون ابيض يتحول إلى كريمي غامق أو بني فاتح.				Rh4
يتشكل حول خزعة العدوى حلقة متوسطة الكثافة بلون كريمي تتحول إلى حلقة من الأجسام الحجرية كثيفة بنية داكنة بعرض 3.8 سم مع نمو ميسليومي شعاعي، يليها حلقة من الاجسام الحجرية بنية متفرقة بعرض 1.2 سم، ثم نمو ميسليومي لنهاية الطبق.				Rh5





Naffaa et al-Syrian Journal of Agricultural Research -SJAR 9(1): 352-368 February 2022



سرعة نمو عزلات الفطر R. solani على الوسط المغذى

تباينت العزلات المدروسة في سرعة نموها، إذ تراوحت بين 1.1 سم / اليوم عند العزلة Rh17 إلى 1.7 سم / اليوم عند العزلات المدروسة في سرعة نمو البرابع. العزلة Rh15 (الجدول 3). وعلى الرغم من التباين في سرعة نمو العزلات، إلا أنها غطت الطبق تماماً في اليوم الرابع. وهذا ما أشار إليه العديد من الدراسات، إذ كانت بعض العزلات سريعة النمو وغطت الطبق (9 سم) خلال 48 ساعة (8 سم) دلال 48 ساعة (9 سم). وتعد سرعة النمو إحدى الصفات الفيزيولوجية المهمة المستخدمة للتمييز بين النوعين .R. (Kuiry et al., 2014) R. solani و oryzae-sativae

الجدول 3: سرعة نمو عزلات الفطر R. solani على الوسط المغذى PDA

متوسط سرعة النمو (سم / اليوم)	الزيادة في نصف قطر المستعمرة (سم) / يوم				رقم العزلة
اليوم)	رابع يوم	ثالث يوم	ثان <i>ي</i> يوم	أول يوم	
1.5bcd	2.2	1.8	1.4	0.5	Rh1
1.3ab	2.3	1.5	1.1	0.3	Rh2
1.3ab	1.9	1.8	1.1	0.5	Rh3
1.5bcd	2.2	1.8	1.4	0.7	Rh4
1.4bc	2.3	1.5	1.3	0.4	Rh5
1.5bcd	2.2	1.8	1.3	0.5	Rh6
1.4bc	2.2	1.7	1.3	0.3	Rh7
1.5bcd	2	1.8	1.4	0.6	Rh8
1.4bc	2.5	1.5	1.2	0.3	Rh9
1.3ab	2.5	1.4	1.2	0.2	Rh10

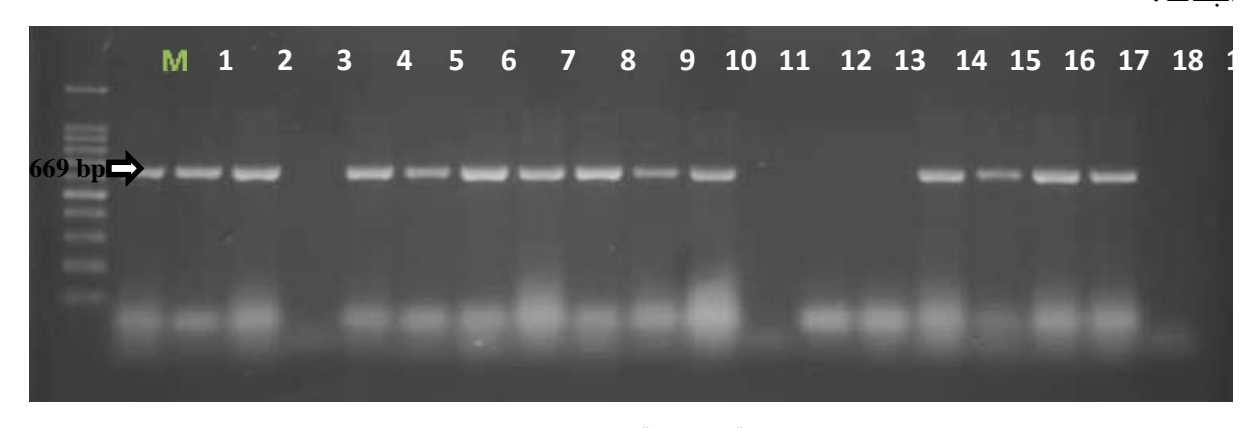
Naffaa et al-Syrian Journal of Agricultural Research -SJAR 9(1): 352-368 February 2022

1.4bc	2.6	1.4	1.5	0.2	Rh11
1.5bcd	2	1.8	1.2	0.8	Rh12
1.6cd	2.4	1.8	1.4	0.7	Rh13
1.6cd	2.1	2	1.4	0.7	Rh14
1.7d	2.2	2.1	1.4	0.9	Rh15
1.3ab	1.7	1.7	1.1	0.8	Rh16
1.1a	1.9	1.3	0.9	0.2	Rh17
1.6cd	2.1	2	1.4	1	Rh18
1.6cd	1.8	2.2	1.3	0.9	Rh19
0.3					LSD _{0>01}

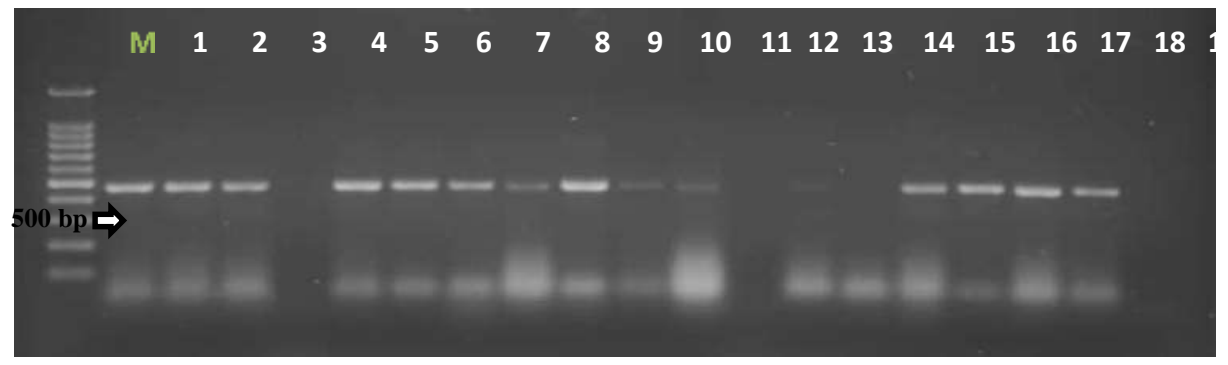
الأرقام المتبوعة بأحرف مختلفة يوجد بينها فروق معنوية، والأرقام المتبوعة بنفس الحروف لا يوجد بينها فروق معنوي عند مستوى معنوية
1%. تشير الحروف المشتركة لعدم وجود فروق معنوية بين العزلات عند مستوى 1% (LSD = 0.3)

الكشف الجزبئي عن المجموعة AG3 وتحت المجموعة AG3-PT للفطر R. solani على البطاطا

أظهرت النتائج أن جميع العزلات المختبرة تنتمي للمجموعة التشابكية AG3، وذلك لظهور الحزمة المميزة لهذه المجموعة (669 زوج نكليوتيدي) (الشكل 3)، ولتحت المجموعة PT المتخصصة في إصابة البطاطا، أي بنسبة 78.95%، إذ ظهرت الحزمة المميزة لتحت هذه المجموعة بحجم 500 زوج نيكليوتيدي (الشكل 4)، باستثناء العزلات Rh4 و Rh12، وRh14 و Rh14، والتي قد تنتمي لمجموعة أو أكثر من المجموعات التشابكية غير AG3 القادرة على إصابة اللطاطا.



الشكل 3: الكشف عن الفطر R. solani (المجموعة التشابكية AG3 باستخدام زوج البادئات (AG3-1F/ ITS4-B) على هلامة الأغاروز 1.5%



الشكل 4: الكشف عن تحت المجموعة التشابكية AG3-PT المتخصصة بإصابة البطاطا باستخدام زوج البادئات / Rs1F2 الشكل 4: الكشف عن تحت المجموعة التشابكية Rs2R1 على هلامة الأغاروز 1.5%

في الحقيقة اعتمدت معظم الدراسات السابقة لتحديد المجموعات التشابكية على طريقة تقابل الهيفات، وتعد هذه الدراسة الأولى في سورية التي اعتمدت على التقانات الجزيئية للكشف عن المجموعات التشابكية. وتأتي هذه النتائج موافقة لنتائج سابقة أشارت إلى أن المجموعة AG3 هي المجموعة السائدة في حقول البطاطا، فقد أظهرت عبدو وآخرون (2012) أن AG-88% من العزلات انتمت إلى المجموعة التشابكية (AG3، وعزلة واحدة فقط (1.81%) انتمت للمجموعة العزلات المدروسة، 1والتي تم عزلها من جذور البطاطا، بينما لم يتم تحديد المجموعات التشابكية التي تنتمي لها بقية العزلات المدروسة، والتي شكلت نسبة 12.72%. كما أشار Woodhall وآخرون (2007) إلى أن 20.6% من عزلات الفطر AG2-1، ما المجموعة 1-AG3 و 6.7 % منها تنتمي للمجموعة 1-AG3، والتمت عزلة واحدة فقط (0.7 %) للمجموعة (1.5 %) وفي فرنسا (2003) ولم المجموعة من أيرنندا (2003) (Campion et al., 2003)، وفي فرنسا (2003) (Campion et al., 2003)، وفي الباكستان، وفي فرنسا (2003) (AG4 & 81.89) AG3 همنا المجموعة من مناطق زراعة البطاطا انتمت للمجموعة التشابكية AG3 (2007) المجموعة من مناطق زراعة البطاطا انتمت للمجموعة التشابكية (AG4 & 81.89) (AG4 & 2007) AG9 & AG4 & AG4 و AG5 (Rauf et al., 2007) AG9 (Rauf et al., 2007) AG9 (Rauf et al., 2007) AG9 (AG5 & AG4).

تم تعريف 26 عزلة من الفطر R. solani من المجموعة التشابكية AG3 في المملكة العربية السعودية باستخدام بادئات متخصصة لمنطقة ITS كما وجد تباين وراثي كبير ضمن نفس المجموعة بدون وجود أية علاقة ارتباط بين هذا التباين الوراثي والقدرة الإمراضية والتوزع الجغرافي للعزلات (EI- Zaidy et al., 2018). ودرست 433 عزلة مجموعة من مناطق زراعة البطاطا في كولومبيا باستخدام بادئات متخصصة أيضاً، وقد أظهرت النتائج أن المسبب الرئيس لمرض تقرح الساق والقشرة السوداء على البطاطا هو الفطر R. solani من المجموعة AG3-PT بنسبة 488.45% مقابل 2.54% المجموعة Ferrucho et al., 2012) AG2-1

في الحقيقة استخدام البادئات المتخصصة في الكشف عن المجموعات التشابكية للفطر R. solani يعتبر طريقة سريعة ودقيقة على الرغم من ارتفاع تكاليفها، في حين أن استخدام الطريقة التقليدية تتطلب الحصول على عزلات مرجعية أو تفريقيه Tester isolates، ومواجهة العزلات المختلفة مع العزلات التفريقية على الوسط المغذي، ثم دراستها مجهرياً لتحديد المجموعة التشابكية التي تنتمي إليها العزلة المختبرة، وذلك بالاعتماد على نقاط الالتحام، إذ يعتبر التحام الهيفات في 3 نقاط أو أكثر في مناطق التشابك دليلاً إيجابياً على أن العزلة المختبرة تنتمي لنفس مجموعة العزلة التفريقية أو المجموعات الفرعية أو Sub-group)، كما أنه من الصعب الاعتماد على الطريقة التقليدية في الكشف عن المجموعات الفرعية أو تحت المجموعات المجموعات الفرعية أو

الإستنتاجات:

- تباينت عزلات الفطر R. solani في خصائصها الشكلية وسرعة نموها حتى ضمن المجموعة التشابكية الواحدة، ويغض النظر عن الموقع الجغرافي الذي جمعت منه.
- تعد الطرائق الجزيئية باستخدام بادئات متخصصة، على الرغم من ارتفاع تكاليفها، سريعة ودقيقة وتختصر الكثير من الجهد والوقت في الكثيف عن المجموعات التشابكية التي تنتمي لها عزلات الفطر R. solani.

- تعد تحت المجموعة التشابكية AG3-PT هي السائدة في حقول البطاطا في مناطق زراعتها المشمولة بالدراسة.
- إجراء المزيد من الدراسات الجزيئية باستخدام عدد أكبر من البادئات المتخصصة للكشف عن المجموعات التشابكية الأخرى التي تنتشر في مناطق زراعة البطاطا في سورية.

المراجع:

- المجموعة الإحصائية الزراعية السنوية. (2019). مديرية الإحصاء الزراعي، وزارة الزراعة والإصلاح الزراعي، دمشق، سورية.
- حاج عبدو، رانيا، بسام بياعة، وعباس عباس. (2012). تحديد المجموعات التشابكية لمجتمع الفطر Rhizoctonia. على البطاطا/ البطاطس في سوريا. مجلة وقاية النبات العربية، 30 (1): 1-10.
- Anderson, N.A. (1982. The Genetics and pathology of *Rhizoctonia solani*. Annual Review of Phytopathology. 20:329-347.
- Bartz, F. E.; M. A. Cubeta; T. Toda; S. Naito; and K. L. Ivors (2010). An in planta method for assessing the role of basidiospores in Rhizoctonia foliar disease of tomato. Plant Diseases. 94:515-520
- Başbağcı, G.; F. Unal; A. Uysal; and F. Dolar (2019). Identification and pathogenicity of *Rhizoctonia solani* AG-4 causing root rot on chickpea in Turkey. Spanish Journal of Agricultural Research. 17 (2), e1007.
- Bintang, A.S.; A. Wibowo; A. Priyatmojo; and S. Subandiyah (2017). Morphological and molecular characterization of *Rhizoctonia solani* isolates from two different rice varieties. Journal Perlindungan Tanaman Indonesia. 21:72-79
- Birch, P.R.J.; G. Bryan; B. Fenton; E.M. Gilroy; I. Hein; J.T. Jones; A. Prashar; M.A. Taylor; L. Torrance; and I.K. Toth (2012). Crops that feed the world 8: Potato: are trends of increased globa production sustainable? Food Security. 4: 477-508.
- Campion, C.; C. Chatot; B. Perraton; and D. Andrivon (2003). Anastomosis groups, pathogenicity and sensitivity to fungicides of *Rhizoctonia solani* isolates collected on potato crops in France. European Journal of Plant Pathology. 109: 983-992.
- Carling, D. E.; and S. Kuninaga (1990). DNA Base sequence homology in *Rhizoctonia solani* K'ühn: Inter- and intragroup relatedness of anastomosisgroup-9. Phytopathology. 80:1362-1364.
- Carling, D.E. (1996). Grouping in *Rhizoctonia solani* by hyphal anastomosis reaction. Pages: 37-47. [In:] Rhizoctonia species taxonomy, molecular biology, ecology, pathology and disease
- Carling, D.E.; R.E. Baird; R.D. Gitaitis; K.A. Brainard; and S. Kuninaga (2002a). Characterization of AG-13, a newly reported anastomosis group of *Rhizoctonia solani*. Phytopathology. 92:893-899.
- Carling, D.E.; S. Kuninaga; and K.A. Brainard (2002b). Hyphal anastomosis reactions, rDNA-internal transcribed spacers sequences, and virulence levels among subsets of *Rhizoctonia solani* anastomosis group2 (AG-2) and AG BI. Phytopathology.92:43–50.

- Ceresini, P.C.; D.H. Shew; J.R. Vilgalys; and A.M. Cubeta (2002). Genetic diversity of *Rhizoctonia solani* AG-3 from potato and tobacco in North Carolina. Mycologia. 94: 437-449.
- Chard, T.; and C. Logan (1983). Cultural and pathogenic variation in potato isolates of *Rhizoctonia solani* in Northern Ireland. Transactions of the British Mycological Society. 81: 585–589.
- control. (Sneh, B.; S. Jabaji-Hare; S. Neate and G. Dijst [editor]). Dordrecht, Netherlands. Kluwer Academic Publishers.
- Das, S.; F.A. Shah; R.C. Butler; R.E. Falloon; A. Stewart; S. Raikar; and A.R. Pitman (2014). Genetic variability and pathogenicity of *Rhizoctonia solani* associated with black scurf of potato in New Zealand. Plant Pathology. 63:651-666.
- Desvani, S.; I. Lestari; R.S. Wibowo; S. Poromarto; and H. Hadiwiyono (2018). Morphological characteristics and virulence of *Rhizoctonia solani* isolates collected from some rice production areas in some districts of Central Java. AIP Conference Proceedings.
- El-Zaidy, M.; M. Mahmoud; A.H. Hatamleh; M.R. Al-Othman; and N.S. Abdelazim (2018). Molecular identification and characterization of *Rhizoctonia solani* AG-3 isolates causing black scurf of potato. Pakistan Journal of Botany. 50. 415-420.
- FAO (2016). FAOSTAT. Food and Agriculture Organization of the United Nations.
- FAO (2018). FAOSTAT. Food and Agriculture Organization of the United Nations.
- Ferrucho, R.L.; P.C. Ceresini; U.M. Ramirez-Escobar; B.A. McDonald; M.A. Cubeta; and C. García-Domínguez (2012). The population genetic structure of *Rhizoctonia solani* AG-3PT from potato in the Colombian Andes. Phytopathology. 103:862-869.
- Gardes, M.; and D. Bruns (1993). ITS primers with enhanced specificity for basidiomycetes-application to the identification of mycorrhizae and rusts. Mol Ecol. 2:113—118
- Gonzalez, D.; D.E. Carling; S. Kuninaga; R. Vilgalys; and M.A. Cubeta (2001). Ribosomal DNA systematics of *Ceratobasidium* and *Thanathephorus* with *Rhizoctonia* anamorphs. Mycologia. 93: 1138–1150.
- Goswami, S.; V. Singh; P. Kashyap; and P. Singh (2019). Morphological characterization and screening for sheath blight resistance using Indian isolates of *Rhizoctonia solani* AG1IA. Indian Phytopathology. 72: 1-18.
- Guleria, S.; R. Aggarwal; T.S. Thind; and T.R. Sharma (2007). Morphological and pathological variability in rice isolates of *Rhizoctonia solani* and molecular analysis of their genetic variability. Journal of Phytopathology. 155: 654-661.
- Hamid, E.E.H.; Y.E.S. Himeidan; and S.M.E. Hassan (2006). Cultural practices for the management of Rhizoctonia disease in potato. Agricultural Science. 18: 141-148.
- Homma, Y.; Y. Ohbi; and T. Katsube (1983). Suppre- sive factors to Japanese radish damping-off in the soil reinoculated with Rhizoctonia solani. Annals of the Phytopathological Society of Japan. 49, 388 (abstract).
- Justesen, A.F.; D. Yohalem; A. Bay; and M. Nicolaisen (2003). Genetic diversity in potato field populations of *Thanatephorus cucumeris* AG-3, revealed by ITS polymorphism and RAPD markers. Mycological Research. 107:1323-1331.

- Kuiry, S.P.; A. Mondal; S. Banerjee; and S. Dutta (2014). Morphological variability in *Rhizoctonia solani* isolates from different agro-ecological zones of West Bengal, India, Archives of Phytopathology and Plant Protection. 47(6): 728-736.
- Kunigana, S.; D.E. Carling; T. Takeuchi; and R. Yokosawa (2000). Comparison of rDNA ITS sequences between potato and tobacco strains in *Rhizoctonia solani* AG-3 J Gen. plant Pathology. 66:2-11.
- Kuninaga, S.; T. Natsuaki; T. Takeuchi; and R. Yokosawa (1997). Sequence variation of the rDNA ITS regions within and between anastomosis groups in *Rhizoctonia solani*. Curr. Genet. 32:237–243.
- Lees, A.K.; D.W. Cullen; L. Sullivan; and M.J. Nicolson (2002). Development of conventional and quantitive real-time PCR assays for the detection and identification of *Rhizoctonia solani* AG-3 in potato and soil. Plant pathology. 51: 293-302.
- Naffaa, W.; S. Ibrahim; T. Abou-Alfadil; and A. Dawood (2017). Incidence of the potato late blight pathogen, *Phytophthora infestans*, in Syria and its mating type. Journal of Plant Diseases and Protection. 124 (6): 533-537.
- Ogoshi, A. (1987). Ecology and pathogenicity of anastomosis and intraspecific groups of *Rhizoctonia solani* Kühn. Annual Review of Phytopathology. 25:125-143.
- Okubara, P.A.; K.L. Schroeder; and T.C. Paulitz (2008). Identification and quantification of *Rhizoctonia solani* and *R. oryzae* using real-time polymerase chain reaction. Phytopathology. 98: 837-847.
- Rabie, A.; S. El-Shafey; M. Rabab; M. Elamawi; M. Saleh; M. Abdelaziz; A. Amero (2019). Morphological, pathological and molecular characterisation of rice sheath blight disease causal organism *Rhizoctonia solani* AG-1 IA in Egypt, Archives of Phytopathology and Plant Protection. 52:5-6, 507-529.
- Rauf, C.A.; A. Iftikhar; and I. Masri (2007). Anastomosis groups of *Rhizoctonia solani* Kühn isolates from potato in Pakistan. Pakistan Journal of Botany. 39. 1335-1340.
- Sambrook, J.; and D. Russell (2001). Molecular Cloning: A Laboratory Manual, 3rd edn. Cold Spring Harbor, NY: Cold Spring Harbor Laboratory Press.
- Sharma, M.; S.K. Gupta; and T.R. Sharma (2005). Characterization of variability in *Rhizoctonia solani* by using morphological and molecular markers. Phytopathology. 153: 449-456.
- Sneh, B.; S. Jabaji-Hare; S. Neate; and G. Dijst (1996). *Rhizoctonia* species: Taxonomy, molecular biology, ecology, pathology and disease control. Kluwer Academic Publishers, London.
- Tsror, L. (2010). Biology, epidemiology and management of *Rhizoctonia solani* on potato. Journal of Phytopathology. 158:649-58.
- Van den Brink, L.; and R. Wustman (2014). *Rhizoctonia solani* in potatoes and its control. Wageningen, The Netherlands: Praktijkonderzoek Plant & Omgeving-Wageningen UR Business Unit AGV. PPO no. 3250265500-1-27.
- Woodhall, J.H.; A.K. Lees; S.G. Edwards; and P. Jenkinson (2007). Characterization of *Rhizoctonia solani* from potatoes in Great Britain. Plant Pathology. 56: 286-295.

Morphological and Molecular Characterization of Rhizoctonia Solani Isolates Causing Black Scurf Disease to Potato in Some Regions of Syria

Sally Abo Akel⁽¹⁾, Walid Naffaa^{(2)*}, and Mohammed Jamal Mando⁽¹⁾

- (1). Plant Protection Research Admin., General Commission for Scientific Agricultural Research (GCSAR), Damascus, Syria.
- (2). Damascus University, Faculty of Agriculture, Department of Plant Protection, Damascus, Syria.

(*Corresponding author:Dr. Walid Naffaa. E-mail: walid1851966@yahoo.com)

Received: 14/04/2021 Accepted: 10/05/2021

Abstract

Potato Solanum tuberosum L. is one of the most important food and industrial crops worldwide. Black scurf, caused by Rhizoctonia solani Kühn. [teleomorph: *Thanatephorus cucumeris* (A.B. Frank) Donk], is an important disease associated with potato cultivation worldwide including Syria. Nineteen isolates of R. solani were obtained from sclerotia formed on infected potato tubers, collected from fields in Homs and Aleppo governorates during the spring season (February, March, & April), and from fields in Damascus countryside (Sa`sa) and Daraa governorates during the summer season (August, & September) in 2018-2019. The isolates varied in their morphological characteristics (colony color and appearance), ability to form sclerotia, color of sclerotia and where they were placed on the plate. The molecular study, using a pair of specific primers (ITS4-B / AG3-1F) for R. solani (AG3) detection, and another pair of specific primers (Rs2R1 / Rs1F2) for AG3-PT detection, showed that 78.95% of R. solani isolates belonged to the sub-group AG3- PT, except the isolates Rh4, Rh12, Rh14, Rh19 (21.05 %) that might belong to one or more of the non-AG3 anastomosis groups infecting potatoes. Up to our knowledge, this is the first study in Syria for the molecular detection of *R. solani* anastomosis groups.

Key words: *Rhizoctonia*, anastomosis groups, black scurf, potato, molecular identification.